

Nagy frekvencia
rendszerek
összefoglaló
(Nagy körök rende)

1) Veretett vs rádiós összeköttetések (szabancsillapítás meghatározásában)

Veretett: Csavart zárpár $\approx 4 \text{ MHz } 5\text{-}6 \text{ dB/km}$

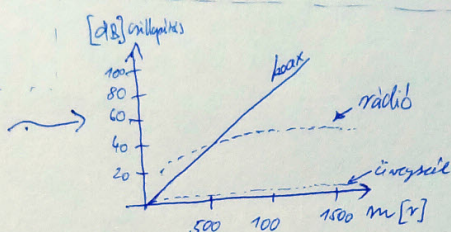
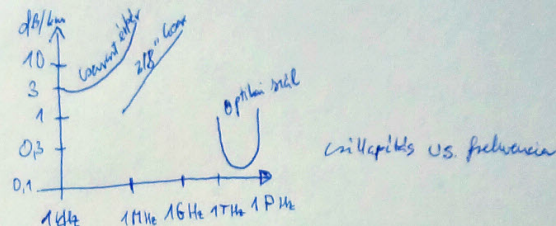
micro strip, koax, Lecher, csőtűpróval

koax: max. 2.26 GHz dielektrikus
max. 5.66 GHz rugózás

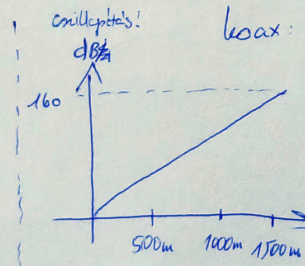
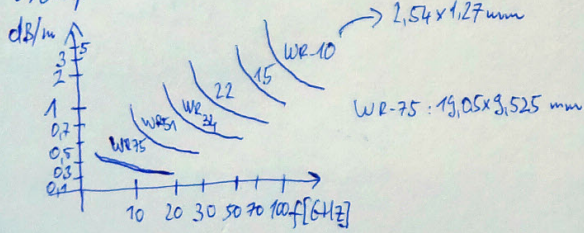
Opt. működés: $1\text{-}2 \text{ dB/m/km}$

$$L_0^{\text{dB}} = \gamma \cdot r \\ \text{veretett } [\frac{\text{dB}}{\text{km}}][\text{km}]$$

rádiós: $L_0^{\text{dB}} = 20 \log \left(\frac{4 \pi r}{\lambda} \right) - G_T^{\text{dB}} - G_R^{\text{dB}}$



2) Csatlakozási vs. koax:

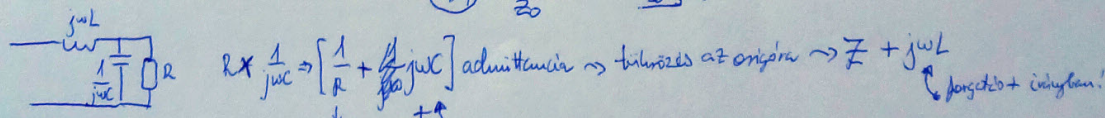


csőtűpróval
szabancsillapítás

3) Smith diagram: normalizált impedancia & reflexív tényező!

- a legkülsőrőlőbb törzsnél is impedancia illenési feltételekkel lehető!

$$\Gamma = 0(\infty) \quad (\underline{Z}) = \frac{\underline{Z}_L}{\underline{Z}_0} \quad \underline{Z}_0 = \text{normalizált imp.}$$



parhuzamos elemmel admittancia!
szembe elemmel illenelhet!

forgett + inkjegy!

4) Antenna hatásos felülete:

$$A_h = \frac{G \cdot \lambda^2}{4\pi} \quad P_{nett} = A_h \cdot S$$

5) $F(\ell, \varphi) = \frac{E(\ell, \varphi)}{E(\ell, 0)_{max}} \rightarrow$ maximális teljesítmény

5)

antenna iránykarakteristika (radiostatikus)

Hertz-dipolusra: $F(\ell, \varphi) = \sin \varphi$

6) Műszerig: $G = \frac{S_{max}}{S_0}$

$$\text{izotrip: } \frac{P_{tot}}{4\pi r^2}$$

beimu van a ventesig

$$\text{irányhatás: } D = \frac{S_{max}}{S_0} = \frac{4\pi}{\int \int F(\ell, \varphi) d\Omega}$$

$$S_0 = \frac{P_{sugárzott}}{4\pi r^2}$$

minőséme ventesig!

$$D \geq G$$

az iránykarakteristikából
az induktivitás nem lehetséges!

$$P_{telttelített} > P_{sugárzott}$$

$$G = N \cdot D$$

2.5.1

7)

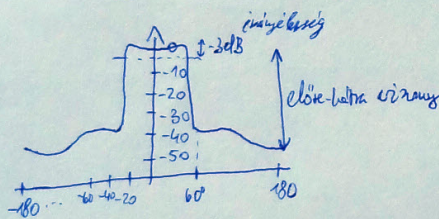
$$P_S = \frac{\int \int S(\ell, \varphi) d\Omega \cdot (S_{max}) S(\ell, 0)}{4\pi} = F^2(\ell, 0)$$

teljesítmény elágazási karakteristika

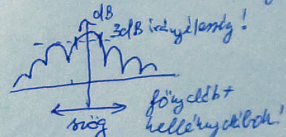
$$F(\ell, \varphi) = \frac{E(\ell, \varphi)}{E(\ell, 0)_{max}}$$

amplitudó
elágazási karakteristika

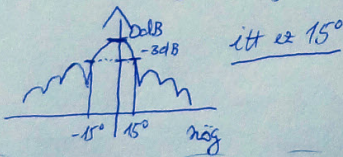
8) iránydiagram



meglehetetlen, hogy melyik irányban
mehet ki a minden teljesítmény



9) 3dB irányelvességi rögz: antenna iránydiagramján a 3dB-es csökkenést teljesítőkörhez tartozó rögz.



10) irányhatás:

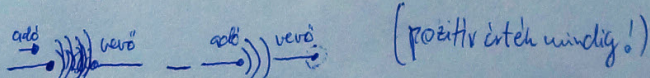
$$D = \frac{S_{max}}{S_0} = \frac{4\pi}{\int \int F(\ell, \varphi) d\Omega}$$

$$P_{sugárzott} / 4\pi r^2$$

maximális teljesítménymínusz
kiszámított teljesítmény növegye

(ez a beimu
ventesig!)

11) elő-kétrági viszony: $-(a 180^\circ\text{-os rögzöző tartozó } dB \text{ érték}) + (a 0^\circ\text{-hoz tartozó } dB \text{ érték})$
a fönyörzési irányban hány dB-vel nögyebb a jel, mint egyenlő pont körül körül antennával

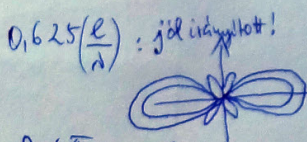
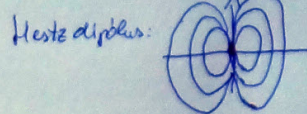
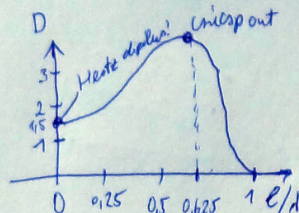


12)

BS antenna	frekvencia 2400 MHz	gain 12dBi	50W
Yagi	2400 MHz	1.5dBi	50W
Grid antenna	2400-2800MHz	23.5dBi	50W tömöre (lőjön amellett 180mph)
Omni	2400 MHz	8dBi	20W beltérben (szinten)
Patch	2400MHz	12dBi	50W felszínbeli

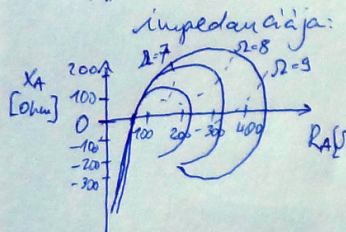
13) Huzal antennák:

egyenes dipól (irányhatás vs. hossz)



$$R_d = \frac{4\pi}{f^2 c^2} \frac{\sigma}{\rho} \frac{l^2}{4} = \frac{S_{max}}{50}$$

14) egyenes dipól bemutató



$$R_d = 2 \cdot \ln\left(\frac{2L}{a}\right)$$

15) ???: dipólantenna frekvenciaváltozások helyelete:

$$J(z') = J_{max} \sin(\beta_z (L - |z'|)) \text{ általánosan!}$$

16) keronisági tényező:

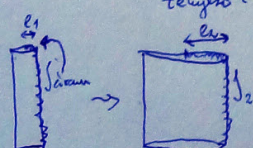
a dipól sugarai és horizontális aránya
(vezető dipól vagy szimmetrikus dipól használata)

$$F = 2 \cdot \ln\left(\frac{2L}{a}\right) \quad \uparrow L \leftarrow \text{fél-dipól!}$$

Resonans antenna és antiresonans antenna:

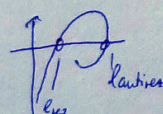
$$\text{dipól} \rightarrow L = \frac{\lambda}{4}$$

$$L_{resonans} = \frac{\lambda}{4} \cdot (1 - \delta_r)$$



$$\Delta L = L_2 - L_1 \text{ miatt}$$

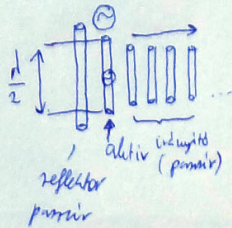
a vezetékből törött
helyre levágva



$$L_{antiresonans} = \frac{\lambda}{2} (1 - \delta_r)$$

antiresonans
tényező
(7-30%)

17) Yagi-Uda antenna:



10MHz - 16Hz

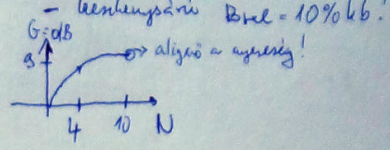
- előnyei: hosszú aktív elem
- relativ nagy frek. tartomány
- jó nyereség hosszú elemmel!

karakter:

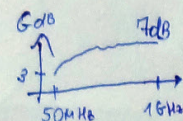
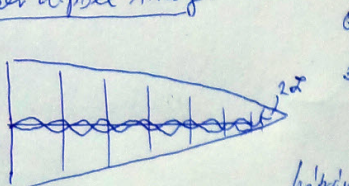
hátralénya: - nélkülözhető

- ellaposadó elosztás és nyereség

lengéshossz: $\lambda_{eff} = 10\% \text{ k}b$



Log-periodic dipole Array:



- előnyei: kiöngön tervezhető! - jó működés!
- Nagy számlálásban!
- csinos nyereség!

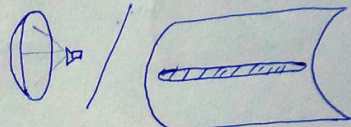
hátralénya: - sok aktív elem (mindegyik dipól) többletben kezeli
- jóval gyengébb nyereségű elosztásnál esetén mint a Yagi-Uda
- nél!

18) Aperture antenna típusai:

Reflektor antenna: → forgó és henger paraboloid

Lencse antenna: fémlemezes lenzs és dielektronos lenzs

Tölcsér antenna: tölcsérantenna + tölcsérparabola
(Jaggi !!)



19) ?? megvitatási fr. és irány karakteristika

2 közti összefüggés $\Rightarrow r_2(x', y') \xrightarrow{\mathcal{F}} r_2(\vartheta, \varphi)$?? Aperture sugardísi távolsága.

megvitatási ↓ iránykarakteristika
fr. Fourier transzformáció

$$F(\vartheta) = \frac{e^{-jB\vartheta}}{4\pi} \iint E(r') e^{jB\vartheta \frac{r'}{c}} dA'$$

20) Mi korlátozza egy forgó paraboloid reflektor antenna alkalmazhatóságát néhány frekvenciáiról?

???

21) Milyen kapacitás van a megvitatási fr. hatásra felület hozzá

$$\text{Frak. tipp!! } A_h = \frac{G \cdot \lambda^2}{4\pi}$$

$$P_{rett} = S \cdot A_h$$

$$S(\vartheta, \varphi) \approx F^2(\vartheta, \varphi)$$

$$F(\vartheta, \varphi) \xrightarrow{\mathcal{F}} r_2(x', y')$$

megvitatási fr.

Hullámterjedeles:

- 22) Szakasz csillapítás: megadja, hogy az adótól a vevőig terjedő úton megnőtökön a kisugárzott $a_{dB} = 10 \lg \left(\frac{P_{out}}{P_{in}} \right)$ jel ~~szintje~~ megadható dB-ben, vagy simán egy monotonával. (mindezen csillapító tényezőt tartalmazza!), ez egy adott szakaszt jellemző csillapítási tényező.

- 23) telj. műniséj, G működési antenna, oldatvonal

$$S_0 = \frac{PA}{4\pi d^2} \quad G_A = \frac{S_{max}}{S_0} \quad \rightarrow S_{max} = G \cdot S_0 = \frac{G \cdot PA}{4\pi d^2}$$

földgörzsűi irányban!

- 24) szabadterületre terjedésre a \vec{E}

$$\vec{E}(r) = \vec{E}_{0x} e_x + \vec{E}_{0y} e_y \quad \begin{matrix} \vec{m} \\ \rightarrow \end{matrix} \quad \begin{matrix} \vec{m} \\ \rightarrow \end{matrix} \quad \begin{matrix} \text{komplex skálár} \\ \text{egységvektor} \end{matrix}$$

$$\Rightarrow \sqrt{|E_{0x}|^2 + |E_{0y}|^2} \cdot \left[\frac{\vec{E}_{0x}}{\sqrt{|E_{0x}|^2 + |E_{0y}|^2}} \cdot \vec{e}_x + \frac{\vec{E}_{0y}}{\sqrt{|E_{0x}|^2 + |E_{0y}|^2}} \cdot \vec{e}_y \right] = E_0(r) \cdot p(r)$$

- 25) szabadterületi csillapítás:

$$(\text{egyszer terjedés}) \quad a_{dB} = 20 \lg \left(\frac{4\pi r}{\lambda} \right) - G_T - G_R = 10 \lg \left(\frac{4\pi r}{\lambda} \right)^2 - G_T - G_R$$

- 26) szakasz csillapítást mi módosítja a szabadterület lefelé:

- temperatúrok
- kétütös terjedeles vonal (a reflexiók miatt)
- reflexiók a „ földről” (elhagyunk különösebb problémát)
- interferenciák \rightarrow (ellenállás/azonos fázis)